

## ЛИТЕРАТУРА

1. Беляев А. Ф., Боболев В. К., Коротков А. И. и др. Переход горения конденсированных систем во взрыв.— М.: Наука, 1973.

г. Москва

Поступила в редакцию 6/II 1990

УДК 534.46

Ф. А. Быковский

## ТЕПЛОВЫЕ ПОТОКИ В СТЕНКИ КАМЕРЫ СГОРАНИЯ ПРИ ДЕТОНАЦИОННОМ И ТУРБУЛЕНТНОМ РЕЖИМАХ ГОРЕНИЯ

Приведены измерения тепловых потоков в стенки кольцевой камеры в режимах горения и непрерывной детонации компонентов пропан — кислород. Показано, что удельные тепловые потоки в стенки камеры при детонационном сжигании существенно ниже, чем при обычном горении.

Вопросы нагрева и охлаждения стенок камер сгорания имеют важное значение в конструировании двигателей и химических реакторов, при этом особое внимание уделяется способам сжигания топлива. В работах [1—3] исследованы режимы сжигания газовых смесей в кольцевых цилиндрических камерах детонационного сгорания (КДС) с помощью поперечных детонационных волн (ДВ). В настоящей работе приведено сравнение тепловых потоков в стенки КДС при детонационном и обычном турбулентном горении в нестационарном тепловом режиме.

### Постановка экспериментов

На рис. 1 схематично изображена КДС, образованная цилиндрической поверхностью, внутренней вставкой и головкой. Газовые компоненты (пропан и кислород) поступали в камеру раздельно через два ряда отверстий, равномерно распределенных по окружности головки, и перемешивались в узком слое. Процесс инициировали высоковольтным разрядом на выходе из канала. Для реализации режима обычного горения кольцевой канал разделяли четырьмя радиальными перегородками длиной 40 мм, а сечение канала высотой  $\delta = 5$  мм делали уже на выходе до 1 мм. Фотосъемку проводили через продольное окно методом компенсации скорости, когда скорость и направление движения изображения совпадали со скоростью и направлением движения пленки.

Температуру внутренней стенки камеры измеряли четырьмя хромель-алюмелевыми термопарами, установленными от головки на расстояниях 6, 20, 50 и 90 мм (точки 1—4 соответственно). Концы термопарных проволок диаметром 0,3 мм зачеканивались в корпус датчика так, что расстояние от торца датчика до середины проволочки составляло 0,2 мм. Корпуса датчиков, как и стенки КДС, изготовлены из нержавеющей стали X18H10T и вставлены заподлицо с внутренней стенкой камеры. Характеристика термопары практически линейна, поэтому точность измерения температуры  $T$  на глубине  $x = 0,2$  мм во времени  $t$  зависела от профиля  $T(x, t)$  и была выше при малых градиентах  $\partial T / \partial x$ . Характерное время нагрева стенки на толщине 0,2 мм составляло  $\sim 0,01$  с, поэтому точность измерения температуры в течение процесса длительностью 0,3 с

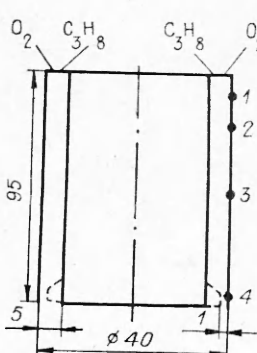


Рис. 1.

достаточно высока. Сигналы с датчиков поступали на осциллограф, отклонение луча которого тарировалось известным напряжением, подаваемым с места подсоединений измерительной цепи к датчикам.

### Вычисление плотности теплового потока

Уравнение теплопроводности для нестационарного режима в цилиндрической системе координат и при отсутствии источников тепла имеет вид

$$\frac{\partial T}{\partial t} = a \nabla^2 T = a \left( \frac{\partial^2 T}{\partial r^2} + \frac{1}{r} \frac{\partial T}{\partial r} + \frac{1}{r^2} \frac{\partial^2 T}{\partial \theta^2} + \frac{\partial^2 T}{\partial z^2} \right), \quad (1)$$

где  $r, \theta, z$  — полярные координаты;  $t$  — время;  $a = \lambda/\rho c$ ,  $\lambda$  — коэффициенты температуро- и теплопроводности;  $\rho, c$  — плотность и удельная теплоемкость среды.

Для упрощения решения (1) принимались следующие допущения:

1)  $\frac{1}{r} \frac{\partial T}{\partial r} \ll \frac{\partial^2 T}{\partial r^2}$ , так как характерная толщина прогрева стенки  $\Delta r =$

$= \sqrt{at}$  мала по сравнению с радиусом камеры  $r_k = 20$  мм;

2)  $\frac{1}{r^2} \frac{\partial^2 T}{\partial \theta^2} = 0$  — температура стенки камеры в каждом поперечном сечении имеет одинаковую величину;

3)  $\frac{\partial^2 T}{\partial z^2} = 0$ , так как  $\frac{\partial T}{\partial z} \ll \frac{\partial T}{\partial r}$ .

В результате этих допущений уравнение теплопроводности сводится к одномерному случаю с заменой координаты  $r$  на  $x$ :

$$\frac{\partial T}{\partial t} = a \frac{\partial^2 T}{\partial x^2}. \quad (2)$$

Совместное решение (2) с уравнением для плотности теплового потока через заданную поверхность  $q = -\lambda \cdot \partial T / \partial x$  дает [4]

$$q(t) = \frac{\lambda}{\sqrt{a\pi}} \int_0^t \frac{dT(\tau)}{d\tau} \frac{1}{\sqrt{t-\tau}} d\tau. \quad (3)$$

Коэффициенты  $a$  и  $\lambda$  считаются постоянными. Однако в имеющемся в экспериментах диапазоне температур  $a$  изменяется на  $\pm 2,5\%$ ,  $\lambda$  — на  $\pm 12\%$  от средних значений, что делает выражение (3) приближенным. Окончательно величина  $q(t)$  в месте установки термопар находилась с помощью кусочно-линейной аппроксимации кривой  $T(t)$  [5]:

$$q(t) = \sum_{i=1}^n \frac{\lambda_i}{\sqrt{a_i\pi}} \frac{T_{i+1} - T_i}{\sqrt{t - \langle \tau_i \rangle}},$$

где индексом  $i$  обозначены значения  $\lambda, a, T$  в начале  $i$ -го отрезка времени  $\tau$ ;  $\langle \tau_i \rangle = \tau_{i+1} + \tau_i/2$ , значения  $a$  и  $\lambda$  брались в соответствии с температурой стали, поэтому частично компенсировалась погрешность, введенная при решении уравнения теплопроводности в допущении постоянства  $a$  и  $\lambda$ .

Доля тепла  $q$ , отходящая в стенку, от плотности энергии потока  $Q$  через поперечное сечение канала  $f_k$  (или  $f_{kp}$  в критическом сечении) находилась по формуле

$$\tilde{q} = \frac{q}{Q} = \frac{q}{HG_r \alpha \cdot 1/f_k}.$$

Здесь  $H, G_r, \alpha$  — теплотворная способность горючего, его расход и коэффициент избытка окислителя. При  $\alpha > 1$  (обедненная смесь) в расчетах принималось  $\alpha = 1$ .

Нестационарный нагрев камеры вносит трудности в теоретические оценки тепловых потоков в стенки, так как в процессе нагрева изменяются температура стенки  $T_{ст}$ , градиенты температур в стенке  $\partial T / \partial x$  и в пограничном слое движущихся продуктов  $\partial T / \partial n$ , коэффициенты теплопроводности стенок  $\lambda_{ст}$  и пограничного слоя  $\lambda_{п}$ . Кроме того, в режиме детонационного сжигания происходит взаимовлияние температуры стенки на структуру поперечных ДВ и течения в ее окрестности. В эксперименте главные закономерности нагрева выявляются достаточно надежно.

### Структура поперечных ДВ

На рис. 2 приведена типичная фотография поперечных ДВ, снятая методом полной компенсации скорости, а на рис. 3 изображены наиболее общие элементы развернутой на плоскость ДВ и течения в ее окрестности в системе волны. Детонационный фронт  $BC$  распространяется по области натекания свежей смеси  $I$ . К нему примыкает шлейф  $CD$  — ударная волна в области продуктов детонации  $II$ , которые выносятся из камеры на срезе  $D - D$ . Кривыми со стрелками показаны линии тока, штриховыми — контактные разрывы, штрихпунктирными — границы до-звуковой ( $M_z < 1$ ) и сверхзвуковой ( $M_z > 1$ ) зон ( $M_z$  — осевая составляющая числа Маха потока  $M$ ). Горизонтальные прямые — радиальные



Рис. 2.

плоскости, в которых находились датчики температуры. В данных экспериментах на компонентах пропан — кислород реализовывалась одна поперечная ДВ, распространяющаяся с  $D = 2100 \div 2200$  м/с, общий расход газов  $60 \div 80$  г/с, среднее давление в камере  $p_k = 2 \div 2,5$  атм.

Что касается режима горения, то структура турбулентного пламени достаточно хорошо изучена и в данной работе не рассматривалась.

### Анализ экспериментальных результатов

Параметры типичных режимов детонации и горения, а также рассчитанные максимальные доли тепла (%), уходящие из потока в стенку камеры в различное для каждой области время, представлены в таблице.

Графики изменения тепловых потоков во времени изображены на рис. 4, а по длине камеры — на рис. 5. Сплошные линии соответствуют режиму детонации, а штриховые — горению. Зависимости  $q(L)$  подобны  $T(L)$ , поэтому для качественной оценки тепловых потоков достаточно рассмотреть осциллограмму  $T(t)$  для нескольких датчиков, установленных по длине камеры. Зависимости  $\bar{q} = q/Q$  подобны  $q(t)$  и  $q(L)$  для

Режим	$p_k$ , атм	$G_R$ , г/с	$G_0$ , г/с	$\alpha$	$D$ , м/с	$f_R$ , см <sup>2</sup>	$f_R/f_{kp}$	$Q \cdot 10^{-8}$ , Бт/м <sup>2</sup>	$\bar{q}_{\max} (%)$ в точках			
									1	2	3	4
Детонация	2,27	15	58	1,06	2140	5,5	1	12,2	1,88	2,06	1,24	0,82
Горение	6,57	7,9	40	1,39	—	5,5	4,4	6,4 *	28,2 **	1,61	7,71	3,14

\* Область камеры сгорания.

\*\* Область критического сечения.

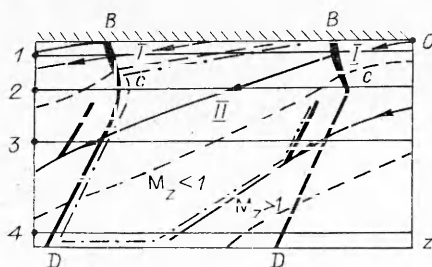


Рис. 3.

канала постоянного сечения в предположении  $Q = \text{const}$ . В реальных случаях  $Q$  несколько снижается вниз по потоку из-за теплоотвода в стенки. В критическом сечении камеры с заужением  $Q_{kp} = Q \cdot f_k/f_{kp}$ . Кривые  $q(L)$  строились по четырем точкам, которых недостаточно для построения точной зависимости. Однако для наглядности и сравнения режимов удобнее изобразить зависимости графически, не претендуя на точность хода кривой между зафиксированными значениями.

Абсолютная величина  $q$  растет с расходом компонентов, а относительное  $\bar{q}$  во многом зависит от условий горения или структуры ДВ. Кривые  $q(t)$  имеют максимум и уменьшение  $q$  идет за счет повышения температуры стенки и понижения градиентов  $\partial T/\partial x$  и  $\partial T/\partial n$ . Зная величину  $q$  и используя выражение  $q = -\lambda \cdot \partial T/\partial x$ , по известной  $T_{0,2}$  в месте установки термопар на расстоянии  $\Delta x = 0,2$  мм от поверхности стенки, можно приблизенно определить температуру стенки камеры

$$T_{ct} \approx T_{0,2} + \Delta T = T_{0,2} + q/\lambda_{ct} \cdot \Delta x.$$

В детонационном режиме с параметрами, приведенными в таблице, максимальная температура стенки в точке 2 составляла  $\sim 870$  К. В режиме горения в критическом сечении (точка 4) максимальная температура стенки  $\sim 1370$  К.

Характер распределения  $q$  по длине камеры для детонации в начале процесса и при горении близок. В начале камеры (точка 1) отмечается регенеративное охлаждение стенок. При детонации — это зона максимального тепловыделения, поэтому эффективность регенерации здесь выше. В точке 2 в обоих случаях имеет место  $q_{\max}$ . Для горения это обусловлено максимумом тепловыделения в этой зоне, а для детонации — отсутствием регенерации, большими флуктуациями скорости потока за шлейфом поперечных ДВ и малой толщиной пограничного слоя. По мере формирования последнего в точке 3 происходит спад  $q$ , а затем его возрастание (точка 4). Для режима горения это обусловлено увеличением плотности потока  $\rho_i$  и уменьшением пограничного слоя в критическом сечении. В режиме детонации  $\rho_i = \text{const}$  (если не считать эффекта вытеснения потока пограничным слоем) и рост  $q$  даже при увеличении пограничного слоя объясняется ростом сверхзвуковой области вниз по потоку, имеющей большую температуру за косым скачком  $CD$ , чем область  $M_z < 1$  до скачка. С течением времени стенки нагреваются и зона  $M_z > 1$  сужается [3], что приводит к уменьшению потоков в стенку со снижением градиентов  $\partial T/\partial x$  и  $\partial T/\partial n$ . Следует отметить, что подъем  $q$  за зоной распространения детонационного

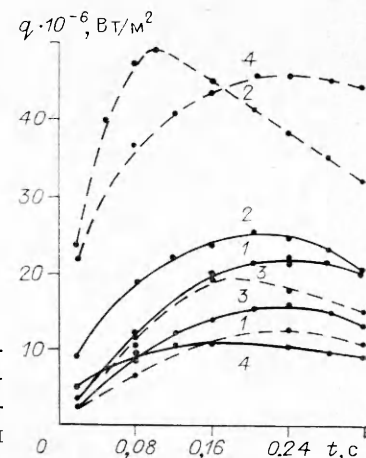


Рис. 4.

$q(L)$

$t \cdot c$

$q \cdot 10^{-6}, \text{BT}/\text{m}^2$

$L, \text{мм}$

$0,08 \quad 0,16 \quad 0,24$

$t \cdot c$

$0 \quad 0,08 \quad 0,16 \quad 0,24$

$t \cdot c$

$0 \quad 0,08 \quad 0,16 \quad 0,24$

$t \cdot c$

$0 \quad 0,08 \quad 0,16 \quad 0,24$

$t \cdot c$

$0 \quad 0,08 \quad 0,16 \quad 0,24$

$t \cdot c$

$0 \quad 0,08 \quad 0,16 \quad 0,24$

$t \cdot c$

$0 \quad 0,08 \quad 0,16 \quad 0,24$

$t \cdot c$

$0 \quad 0,08 \quad 0,16 \quad 0,24$

$t \cdot c$

$0 \quad 0,08 \quad 0,16 \quad 0,24$

$t \cdot c$

$0 \quad 0,08 \quad 0,16 \quad 0,24$

$t \cdot c$

$0 \quad 0,08 \quad 0,16 \quad 0,24$

$t \cdot c$

$0 \quad 0,08 \quad 0,16 \quad 0,24$

$t \cdot c$

$0 \quad 0,08 \quad 0,16 \quad 0,24$

$t \cdot c$

$0 \quad 0,08 \quad 0,16 \quad 0,24$

$t \cdot c$

$0 \quad 0,08 \quad 0,16 \quad 0,24$

$t \cdot c$

$0 \quad 0,08 \quad 0,16 \quad 0,24$

$t \cdot c$

$0 \quad 0,08 \quad 0,16 \quad 0,24$

$t \cdot c$

$0 \quad 0,08 \quad 0,16 \quad 0,24$

$t \cdot c$

$0 \quad 0,08 \quad 0,16 \quad 0,24$

$t \cdot c$

$0 \quad 0,08 \quad 0,16 \quad 0,24$

$t \cdot c$

$0 \quad 0,08 \quad 0,16 \quad 0,24$

$t \cdot c$

$0 \quad 0,08 \quad 0,16 \quad 0,24$

$t \cdot c$

$0 \quad 0,08 \quad 0,16 \quad 0,24$

$t \cdot c$

$0 \quad 0,08 \quad 0,16 \quad 0,24$

$t \cdot c$

$0 \quad 0,08 \quad 0,16 \quad 0,24$

$t \cdot c$

$0 \quad 0,08 \quad 0,16 \quad 0,24$

$t \cdot c$

$0 \quad 0,08 \quad 0,16 \quad 0,24$

$t \cdot c$

$0 \quad 0,08 \quad 0,16 \quad 0,24$

$t \cdot c$

$0 \quad 0,08 \quad 0,16 \quad 0,24$

$t \cdot c$

$0 \quad 0,08 \quad 0,16 \quad 0,24$

$t \cdot c$

$0 \quad 0,08 \quad 0,16 \quad 0,24$

$t \cdot c$

$0 \quad 0,08 \quad 0,16 \quad 0,24$

$t \cdot c$

$0 \quad 0,08 \quad 0,16 \quad 0,24$

$t \cdot c$

$0 \quad 0,08 \quad 0,16 \quad 0,24$

$t \cdot c$

$0 \quad 0,08 \quad 0,16 \quad 0,24$

$t \cdot c$

$0 \quad 0,08 \quad 0,16 \quad 0,24$

$t \cdot c$

$0 \quad 0,08 \quad 0,16 \quad 0,24$

$t \cdot c$

$0 \quad 0,08 \quad 0,16 \quad 0,24$

$t \cdot c$

$0 \quad 0,08 \quad 0,16 \quad 0,24$

$t \cdot c$

$0 \quad 0,08 \quad 0,16 \quad 0,24$

$t \cdot c$

$0 \quad 0,08 \quad 0,16 \quad 0,24$

$t \cdot c$

$0 \quad 0,08 \quad 0,16 \quad 0,24$

$t \cdot c$

$0 \quad 0,08 \quad 0,16 \quad 0,24$

$t \cdot c$

$0 \quad 0,08 \quad 0,16 \quad 0,24$

$t \cdot c$

$0 \quad 0,08 \quad 0,16 \quad 0,24$

$t \cdot c$

$0 \quad 0,08 \quad 0,16 \quad 0,24$

$t \cdot c$

$0 \quad 0,08 \quad 0,16 \quad 0,24$

$t \cdot c$

$0 \quad 0,08 \quad 0,16 \quad 0,24$

$t \cdot c$

$0 \quad 0,08 \quad 0,16 \quad 0,24$

$t \cdot c$

$0 \quad 0,08 \quad 0,16 \quad 0,24$

$t \cdot c$

$0 \quad 0,08 \quad 0,16 \quad 0,24$

$t \cdot c$

$0 \quad 0,08 \quad 0,16 \quad 0,24$

$t \cdot c$

$0 \quad 0,08 \quad 0,16 \quad 0,24$

$t \cdot c$

$0 \quad 0,08 \quad 0,16 \quad 0,24$

$t \cdot c$

$0 \quad 0,08 \quad 0,16 \quad 0,24$

$t \cdot c$

$0 \quad 0,08 \quad 0,16 \quad 0,24$

$t \cdot c$

$0 \quad 0,08 \quad 0,16 \quad 0,24$

$t \cdot c$

$0 \quad 0,08 \quad 0,16 \quad 0,24$

$t \cdot c$

$0 \quad 0,08 \quad 0,16 \quad 0,24$

$t \cdot c$

$0 \quad 0,08 \quad 0,16 \quad 0,24$

$t \cdot c$

$0 \quad 0,08 \quad 0,16 \quad 0,24$

$t \cdot c$

$0 \quad 0,08 \quad 0,16 \quad 0,24$

$t \cdot c$

$0 \quad 0,08 \quad 0,16 \quad 0,24$

$t \cdot c$

$0 \quad 0,08 \quad 0,16 \quad 0,24$

$t \cdot c$

$0 \quad 0,08 \quad 0,16 \quad 0,24$

$t \cdot c$

$0 \quad 0,08 \quad 0,16 \quad 0,24$

$t \cdot c$

$0 \quad 0,08 \quad 0,16 \quad 0,24$

$t \cdot c$

$0 \quad 0,08 \quad 0,16 \quad 0,24$

$t \cdot c$

$0 \quad 0,08 \quad 0,16 \quad 0,24$

$t \cdot c$

$0 \quad 0,08 \quad 0,16 \quad 0,24$

$t \cdot c$

$0 \quad 0,08 \quad 0,16 \quad 0,24$

$t \cdot c$

$0 \quad 0,08 \quad 0,16 \quad 0,24$

$t \cdot c$

$0 \quad 0,08 \quad 0,16 \quad 0,24$

$t \cdot c$

$0 \quad 0,08 \quad 0,16 \quad 0,24$

$t \cdot c$

$0 \quad 0,08 \quad 0,16 \quad 0,24$

$t \cdot c$

$0 \quad 0,08 \quad 0,16 \quad 0,24$

$t \cdot c$

$0 \quad 0,08 \quad 0,16 \quad 0,24$

$t \cdot c$

$0 \quad 0,08 \quad 0,16 \quad 0,24$

$t \cdot c$

$0 \quad 0,08 \quad 0,16 \quad 0,24$

$t \cdot c$

$0 \quad 0,08 \quad 0,16 \quad 0,24$

$t \cdot c$

$0 \quad 0,08 \quad 0,16 \quad 0,24$

$t \cdot c$

$0 \quad 0,08 \quad 0,16 \quad 0,24$

$t \cdot c$

$0 \quad 0,08 \quad 0,16 \quad 0,24$

$t \cdot c$

$0 \quad 0,08 \quad 0,16 \quad 0,24$

$t \cdot c$

$0 \quad 0,08 \quad 0,16 \quad 0,24$

$t \cdot c$

$0 \quad 0,08 \quad 0,16 \quad 0,24$

$t \cdot c$

$0 \quad 0,08 \quad 0,16 \quad 0,24$

$t \cdot c$

$0 \quad 0,08 \quad 0,16 \quad 0,24$

$t \cdot c$

$0 \quad 0,08 \quad 0,16 \quad 0,24$

$t \cdot c$

$0 \quad 0,08 \quad 0,16 \quad 0,24$

$t \cdot c$

<math

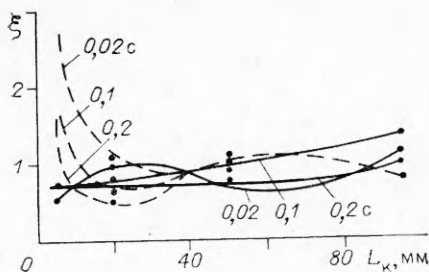


Рис. 6.

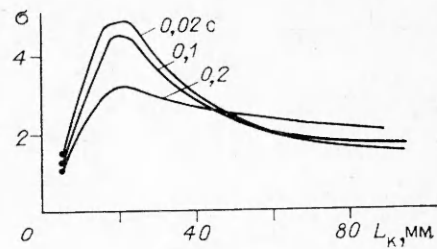


Рис. 7.

фрона  $BC$  характерен для детонационного процесса, а подъем  $q$  в конце канала — характерная особенность сильных поперечных ДВ. В случае горения максимум  $q$  внутри камеры определяется смесеобразованием и может занимать различные положения.

В ракетных двигателях с пристеночным охлаждением при установившихся режимах тепловые потери в стенки пропорциональны  $r_k^\xi$  ( $\xi \approx 0.8$  [6, 7]). В рассматриваемом случае нестационарного теплового нагрева величина  $\xi$  существенно изменяется во времени и по длине канала, а для детонационного процесса — дополнительно от структуры ДВ и течения в ее окрестности. С учетом данных по детонационному и обычному сжиганию других топливных компонентов выявлено, что для горения  $\xi$  приближается к 0,8 только вблизи критического сечения, где произошло сгорание исходных компонентов. В области смесеобразования  $\xi \approx 1.5 \div 3$ , а в области максимума тепловыделения  $\xi \approx 0.5 \div 1.0$ , приближаясь в стационарном режиме к 0,5 (рис. 6). В случае детонации изменение  $\xi$  имеет противоположный характер — растет по длине канала и в конце стабилизируется, приближаясь к 1,1—1,27. Большая нестабильность и крутой рост  $\xi$  в конце канала наблюдаются вначале процесса, когда явно выражены сверхзвуковые зоны на выходе из камеры.

Отношение потоков в точках 3 и 4 при горении подчиняется закону  $q_{k'}/q_{kp} = (f_{k'}/f_{kp})^{0.9}$  [7], а в точках 1 и 2 относительно точки 4 этому закону не подчиняется, так как в этих областях потоки в стенку существенно зависят от смесеобразования.

Сравним относительные тепловые потоки в стенки при горении и детонации, обозначив  $\sigma = \bar{q}_r/\bar{q}_d$ . Из рис. 7 видно, что при горении значение  $\bar{q}$  в среднем в  $2.5 \div 3$  раза выше, причем  $\sigma$  меняется со временем, а в начале процесса, когда температура стенки невелика,  $\sigma$  в точке 2 больше приведенных средних значений. С ростом  $T_{ct}$   $\sigma$  падает, поэтому принудительное охлаждение стенок камеры явно показывает преимущество детонационного сжигания топлива в отношении нагрева. В конце канала  $\sigma \approx 2$ . Однако если взять абсолютные значения тепловых потоков при одинаковых расходах, что наиболее важно в практике, то они отличаются в 5—8 раз (см. рис. 4, 5). Это обстоятельство также указывает на преимущество детонационного сжигания, особенно при охлаждении стенок.

Полнота сгорания исходных компонентов в данной работе специаль но не исследовалась. Однако по степени нагрева стенок и характеру распределения  $q(L)$ , степени заужения канала  $f_k/f_{kp} = 4,4$ , характерном для ракетных двигателей [7], по хорошему перемешиванию можно говорить о достаточно полных химических превращениях в камере, что подтверждается и значениями удельных импульсов потока, измеренных в этих камерах ранее.

Полученные результаты противоречат некоторым данным по испытаниям ракетных двигателей, когда при возникновении неустойчивости горения наблюдалось повышение  $q$  в 1,5—2 раза [7]. Это, по-видимому, связано с разрушением пристеночного слоя охлаждения, а также с увеличением полноты сгорания при возникновении волн.

## ЛИТЕРАТУРА

1. Быковский Ф. А., Клопотов И. Д., Митрофанов В. В. Спиновая детонация газов в цилиндрической камере // Докл. АН СССР.— 1975.— 224, № 5.— С. 1038—1041.
2. Быковский Ф. А., Митрофанов В. В. Детонационное сжигание газовой смеси в цилиндрической камере // ФГВ.— 1980.— 16, № 5.— С. 107—117.
3. Быковский Ф. А. О некоторых свойствах потока при непрерывной детонации в кольцевой цилиндрической камере: Материалы VIII Всесоюз. симп. по горению и взрыву.— Ташкент, 1986.— С. 16—19.
4. Ландау Л. Д., Либкин Е. М. Механика сплошных сред.— М.: Гостехиздат, 1953.
5. Баженова Т. В., Гвоздева Л. Г. Нестационарные взаимодействия ударных волн.— М.: Наука, 1977.— С. 274.
6. Мелькумов Т. М. и др. Ракетные двигатели.— М.: Машиностроение, 1968.— С. 511.
7. Баррер и др. Ракетные двигатели.— М.: Оборонгиз, 1962.— С. 799.

г. Новосибирск

Поступила в редакцию 7/III 1990

УДК 662.536.46

С. Н. Черепнин

### К ВОПРОСУ О ВЛИЯНИИ ИОНИЗИРУЮЩИХ ДОБАВОК И ВНЕШНЕГО ЭЛЕКТРИЧЕСКОГО ПОЛЯ НА ГОРЕНIE И ОКИСЛЕНИЕ

На основе теории о распространении пламени сделана попытка экспериментально объяснить влияние электрического поля на процессы горения и окисления. Установлено, что с помощью внешнего электрического поля возможно контролировать и управлять процессами зарядки металлических элементов, находящихся в пламени.

Один из важных вопросов — интенсификация процесса горения — решается различными путями, но наиболее перспективен метод воздействия электрического поля на пламя. В настоящее время существуют три вероятных механизма влияния электрического поля на процесс горения [1]: ионный ветер, обусловленный движением ионов и электронов под действием электрического поля, и увеличение ими нейтральных частиц к противоположному заряженному электроду; превращение энергии электрического поля в тепловую в объеме пламени; прямое воздействие электрического поля на развитие химических реакций. Тем не менее механизм влияния электрического поля на горение до сих пор не вполне ясен.

В настоящей работе сделана попытка оценить влияние ионизирующей добавки (раствора NaCl) на собственное электрическое поле пламени и изменения электрического потенциала металлического образца, вводимого в область догорания, при наложении внешнего электрического поля на область подготовки (область перед фронтом пламени). Эксперименты проводили на установке, представленной на рис. 1. На горелке 6 сжигалась смесь пропан-бутан — воздух, подаваемая в горелку из баллона 15, через редуктор 14 и ротаметр 13. Окислитель (воздух) поступал от компрессора 16, через ротаметр 12 и распылитель 8. Растворы солей NaCl различной концентрации, подавались с постоянным расходом 1 см<sup>3</sup>/мин из сосуда 7 в распылитель 8. Электрический потенциал пламени измеряли с помощью пассивного одноэлектродного зонда 5 (нержавеющая проволока диаметром 0,09 мм, запаянная в кварцевый капилляр с наружным диаметром 0,3 мм). Капилляр размещен в направляющей кварцевой трубке. Рабочая часть зонда выдвинута из капилляра на 0,1 мм. Зонд располагался по оси горелки и мог перемещаться в вертикальном направлении с помощью специального координатного устройства 9. Для обеспечения жесткого крепления направляющей керамики и герметизации горелки один ее конец заглушен фторопластовым стакан-